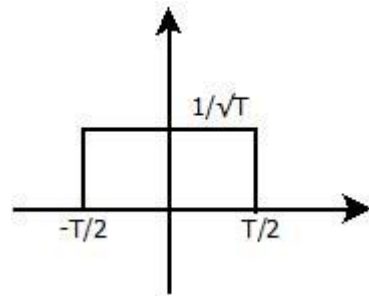
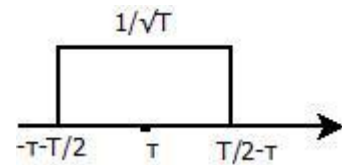


Ερώτημα Θ.1

$$\varphi(t) = \begin{cases} \frac{1}{\sqrt{T}}, & -\frac{T}{2} \leq t \leq \frac{T}{2} \\ 0, & \text{αλλιώς} \end{cases}$$

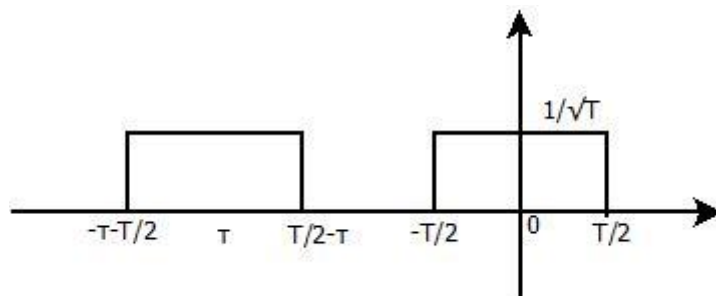


$$\varphi(t + \tau) = \begin{cases} \frac{1}{\sqrt{T}}, & -\frac{T}{2} - \tau \leq t \leq \frac{T}{2} - \tau \\ 0, & \text{αλλιώς} \end{cases}$$



Ο τύπος της συνάρτησης αυτομοιότητας είναι: $R\varphi\varphi(\tau) = \int_{-\infty}^{\infty} \varphi(\tau + t)\varphi(t)dt$

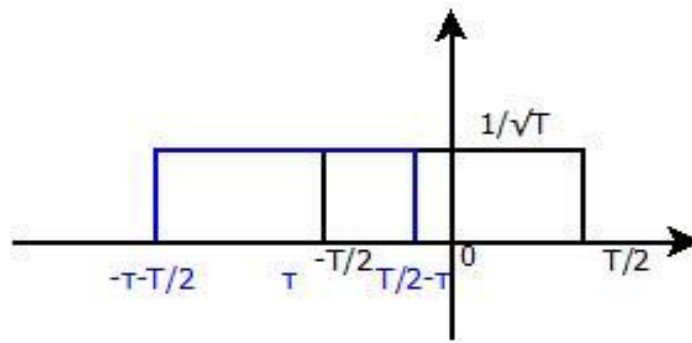
1^η περίπτωση



$$-\tau + \frac{T}{2} < -\frac{T}{2} \Leftrightarrow \tau > T$$

$$R\varphi\varphi(\tau) = \int_{-\infty}^{\infty} \varphi(\tau + t)\varphi(t)dt = 0$$

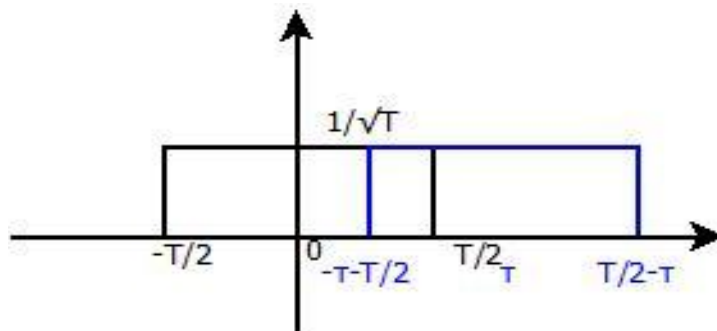
2^η περίπτωση



$$-\tau + \frac{T}{2} > -\frac{T}{2} \Leftrightarrow \tau < T \quad \text{και} \quad -\tau + \frac{T}{2} < \frac{T}{2} \Leftrightarrow \tau > 0$$

$$\begin{aligned} R\phi\phi(\tau) &= \int_{-\infty}^{\infty} \phi(\tau+t)\phi(t)dt = \int_{-T/2}^{-\tau+T/2} \frac{1}{\sqrt{T}} \times \frac{1}{\sqrt{T}} dt = \int_{-T/2}^{-\tau+T/2} \frac{1}{T} dt = \frac{\frac{T}{2}-\tau}{T} - \frac{-\frac{T}{2}}{T} \\ &= 1 - \frac{\tau}{T} \end{aligned}$$

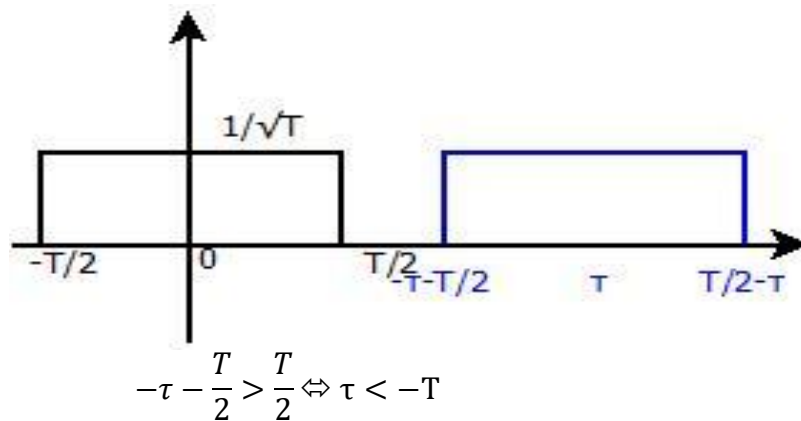
3^η περίπτωση



$$-\tau - \frac{T}{2} > -\frac{T}{2} \Leftrightarrow \tau \geq -T \quad \text{και} \quad -\tau + \frac{T}{2} \geq \frac{T}{2} \Leftrightarrow \tau \leq 0$$

$$\begin{aligned} R\phi\phi(\tau) &= \int_{-\infty}^{\infty} \phi(\tau+t)\phi(t)dt = \int_{-\tau-T/2}^{T/2} \frac{1}{\sqrt{T}} \times \frac{1}{\sqrt{T}} dt = \int_{-\tau-T/2}^{T/2} \frac{1}{T} dt = \frac{\frac{T}{2} - (-\tau - \frac{T}{2})}{T} \\ &= \frac{T+\tau}{T} = 1 + \frac{\tau}{T} \end{aligned}$$

4^η περίπτωση

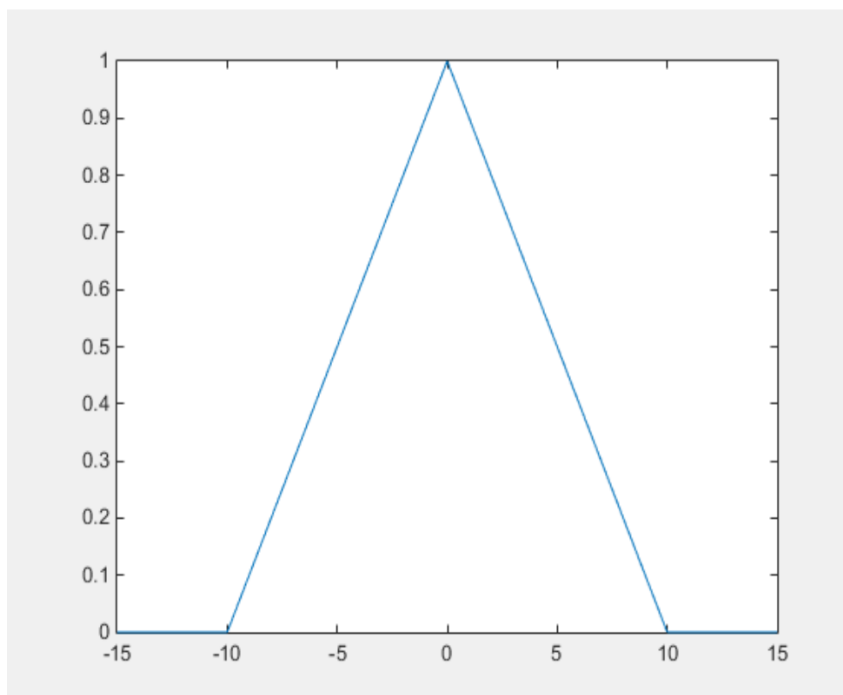


$$R\phi\phi(\tau) = \int_{-\infty}^{\infty} \phi(\tau+t)\phi(t)dt = 0$$

$$\text{Τελικά έχουμε } R\phi\phi(\tau) \begin{cases} 1 - \frac{\tau}{T}, & \text{για } 0 < \tau < T \\ 1 + \frac{\tau}{T}, & \text{για } -T \leq \tau \leq 0 \\ 0, & \text{αλλού} \end{cases}$$

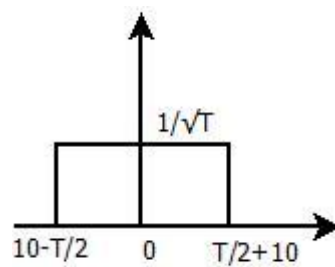
Παρατηρούμε πως η μέγιστη τιμή που μπορεί να πάρει η συνάρτηση αυτομοιότητας είναι 1 και αυτό συμβαίνει για $\tau=0$. Λογικό αφού τότε δεν έχουμε μετατόπιση και οι δύο συναρτήσεις ταυτίζονται.

Παρατίθεται το διάγραμμα $R\phi\phi(\tau)$ για ενδεικτικό $T=10$

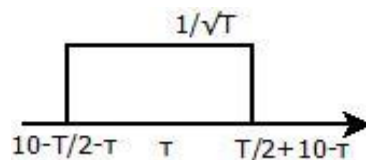


Ερώτημα Θ.2

$$\varphi(t-10) = \begin{cases} \frac{1}{\sqrt{T}}, & 10 - \frac{T}{2} \leq t \leq 10 + \frac{T}{2} \\ 0, & \text{αλλιώς} \end{cases}$$



$$\varphi(t-10+\tau) = \begin{cases} \frac{1}{\sqrt{T}}, & 10 - \frac{T}{2} - \tau \leq t \leq 10 + \frac{T}{2} - \tau \\ 0, & \text{αλλιώς} \end{cases}$$



Για λόγους απλοποίησης δεν θα συμπεριλάβουμε τα σχήματα καθώς ακολουθούμε την ίδια διαδικασία με το ερώτημα Θ.1 αλλά με διαφορετικά άκρα.

1^η περίπτωση

$$10 - \tau + \frac{T}{2} < 10 - \frac{T}{2} \Leftrightarrow \tau > T$$

$$R\varphi\varphi(\tau) = \int_{-\infty}^{\infty} \varphi(t-10)\varphi(t-10+\tau)dt = 0$$

2^η περίπτωση

$$10 - \tau + \frac{T}{2} \geq 10 - \frac{T}{2} \Leftrightarrow \tau \leq T \quad \text{και} \quad \frac{T}{2} + 10 - \tau \leq \frac{T}{2} + 10 \Leftrightarrow \tau \geq 0$$

$$\begin{aligned} R\varphi\varphi(\tau) &= \int_{-\infty}^{\infty} \varphi(t-10)\varphi(t-10+\tau)dt = \int_{10-T/2}^{10-\tau+T/2} \frac{1}{\sqrt{T}} \times \frac{1}{\sqrt{T}} dt = \int_{10-T/2}^{10-\tau+T/2} \frac{1}{T} dt \\ &= \frac{10 - \tau + \frac{T}{2} - 10 + \frac{T}{2}}{T} = \frac{T - \tau}{T} = 1 - \frac{\tau}{T} \end{aligned}$$

3^η περίπτωση

$$10 - \tau + \frac{T}{2} \geq 10 + \frac{T}{2} \Leftrightarrow \tau \leq 0 \quad \text{και} \quad 10 - \tau - \frac{T}{2} \leq 10 + \frac{T}{2} \Leftrightarrow \tau \geq -T$$

$$\begin{aligned} R\varphi\varphi(\tau) &= \int_{-\infty}^{\infty} \varphi(t-10)\varphi(t-10+\tau)dt = \int_{10-\tau-T/2}^{10+T/2} \frac{1}{\sqrt{T}} \times \frac{1}{\sqrt{T}} dt = \int_{10-\tau-T/2}^{10+T/2} \frac{1}{T} dt \\ &= \frac{10 + \frac{T}{2} - 10 + \tau + \frac{T}{2}}{T} = \frac{T + \tau}{T} = 1 + \frac{\tau}{T} \end{aligned}$$

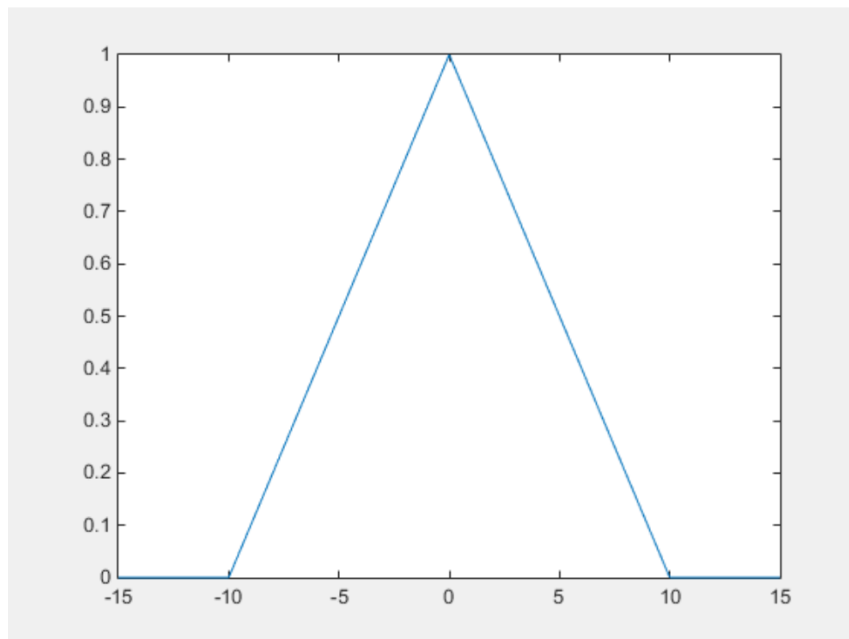
4^η περίπτωση

$$10 - \tau - \frac{T}{2} \geq 10 + \frac{T}{2} \Leftrightarrow \tau \leq -T$$

$$R\varphi\varphi(\tau) = \int_{-\infty}^{\infty} \varphi(t-10)\varphi(t-10+\tau)dt = 0$$

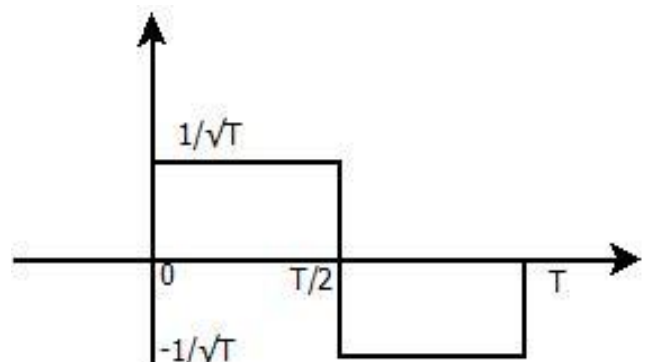
$$\text{Τελικά έχουμε } R\varphi\varphi(\tau) \begin{cases} 1 - \frac{\tau}{T}, & \text{για } 0 \leq \tau \leq T \\ 1 + \frac{\tau}{T}, & \text{για } -T \leq \tau \leq 0 \\ 0, & \text{αλλού} \end{cases}$$

Παρατίθεται το διάγραμμα $R\varphi\varphi(\tau)$ για ενδεικτικό $T=10$

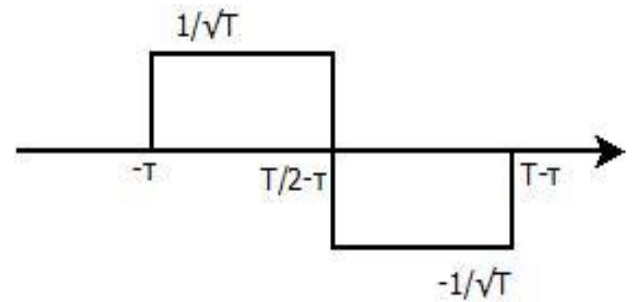


Ερώτημα 0.3

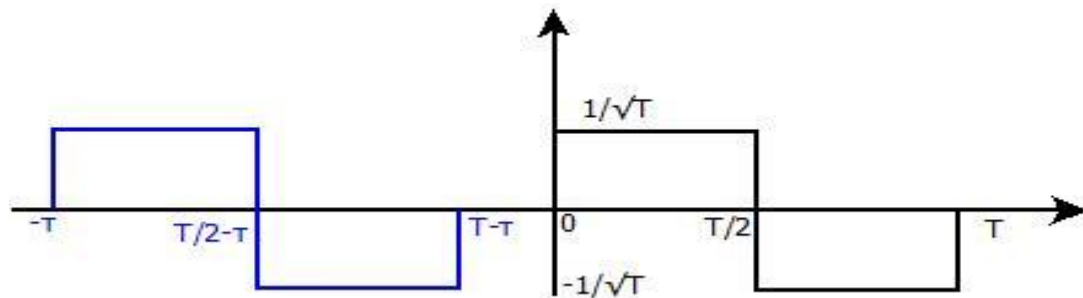
$$\varphi(t) = \begin{cases} \frac{1}{\sqrt{T}}, & 0 \leq t \leq \frac{T}{2} \\ -\frac{1}{\sqrt{T}}, & \frac{T}{2} \leq t \leq T \\ 0, & \text{αλλιώς} \end{cases}$$



$$\varphi(t + \tau) = \begin{cases} \frac{1}{\sqrt{T}}, & -\tau \leq t \leq \frac{T}{2} - \tau \\ -\frac{1}{\sqrt{T}}, & \frac{T}{2} - \tau \leq t \leq T - \tau \\ 0, & \text{αλλιώς} \end{cases}$$



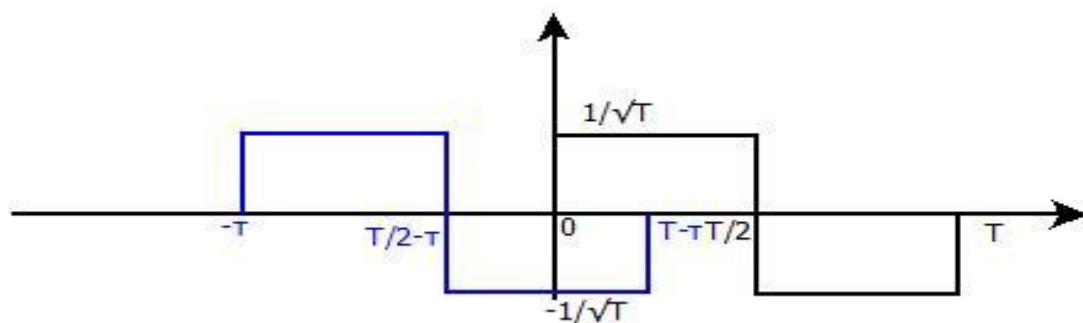
1η περίπτωση



$$T - \tau < 0 \Leftrightarrow \tau > T$$

$$R\varphi\varphi(\tau) = \int_{-\infty}^{\infty} \varphi(\tau + t)\varphi(t)dt = 0$$

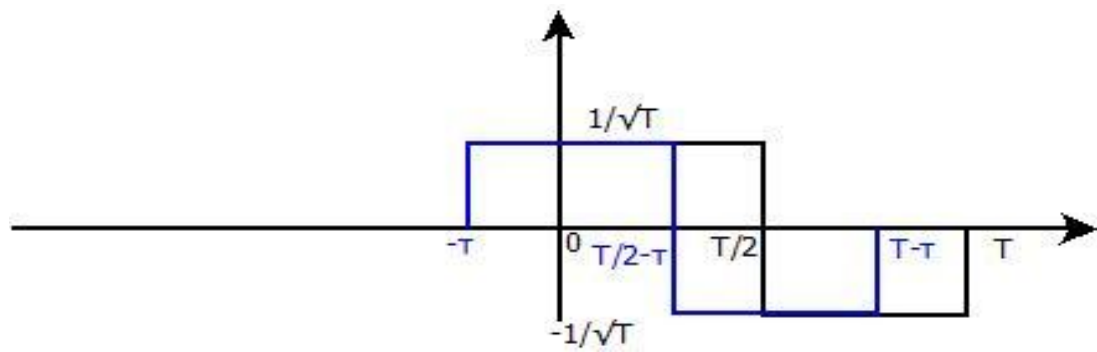
2η περίπτωση



$$T - \tau \leq \frac{T}{2} \Leftrightarrow \tau \geq \frac{T}{2} \text{ και } T - \tau > 0 \Leftrightarrow \tau \leq T$$

$$\begin{aligned} R\varphi\varphi(\tau) &= \int_{-\infty}^{\infty} \varphi(t)\varphi(\tau + t)dt = \int_0^{T-\tau} \frac{1}{\sqrt{T}} \times \left(-\frac{1}{\sqrt{T}}\right) dt = \int_0^{T-\tau} -\frac{1}{T} dt = -\frac{T-\tau}{T} \\ &= \frac{\tau}{T} - 1 \end{aligned}$$

3^η περίπτωση

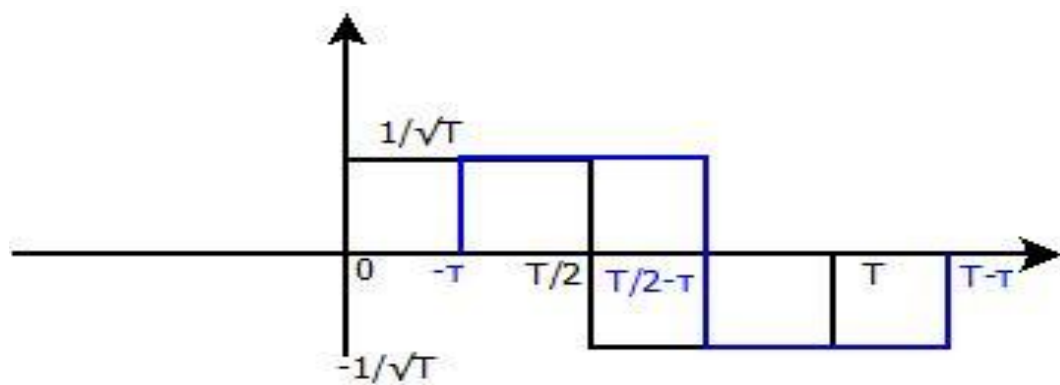


$$\frac{T}{2} \leq T - \tau \leq T \Leftrightarrow 0 \leq \tau \leq \frac{T}{2}$$

$$R\phi\phi(\tau) = \int_{-\infty}^{\infty} \phi(t)\phi(\tau+t)dt$$

$$\begin{aligned} &= \int_0^{\frac{T}{2}-\tau} \frac{1}{\sqrt{T}} \times \frac{1}{\sqrt{T}} dt + \int_{\frac{T}{2}-\tau}^{\frac{T}{2}} \frac{1}{\sqrt{T}} \times \left(-\frac{1}{\sqrt{T}}\right) dt + \int_{\frac{T}{2}}^{T-\tau} \left(-\frac{1}{\sqrt{T}}\right) \times \left(-\frac{1}{\sqrt{T}}\right) dt \\ &= \int_0^{\frac{T}{2}-\tau} \frac{1}{T} dt - \int_{\frac{T}{2}-\tau}^{\frac{T}{2}} \frac{1}{T} dt + \int_{\frac{T}{2}}^{T-\tau} \frac{1}{T} dt = \frac{\frac{T}{2}-\tau - \left(\frac{T}{2}-\frac{T}{2}+\tau\right) + T-\tau - \frac{T}{2}}{T} \\ &= \frac{T-3\tau}{T} = 1 - \frac{3\tau}{T} \end{aligned}$$

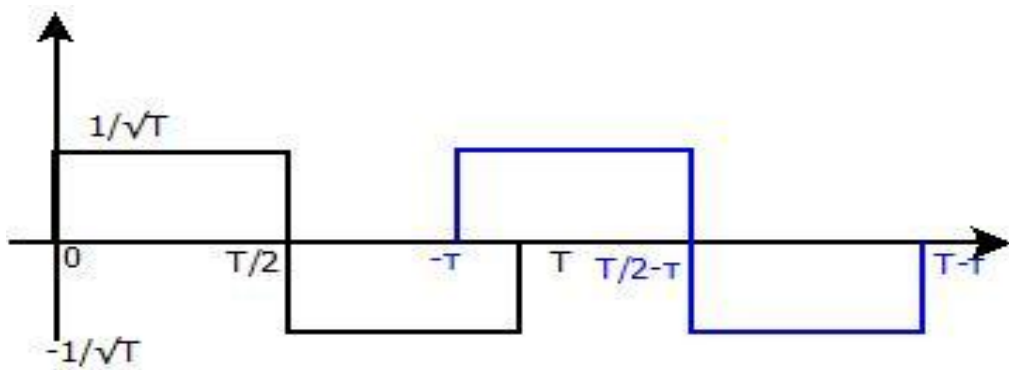
4^η περίπτωση



$$\frac{T}{2} \leq \frac{T}{2} - \tau \leq T \Leftrightarrow -\frac{T}{2} \leq \tau \leq 0$$

$$\begin{aligned}
 R\varphi\varphi(\tau) &= \int_{-\infty}^{\infty} \varphi(t)\varphi(\tau+t)dt \\
 &= \int_{-\tau}^{\frac{T}{2}} \frac{1}{\sqrt{T}} \times \left(\frac{1}{\sqrt{T}}\right) dt + \int_{\frac{T}{2}}^{\frac{T}{2}-\tau} \left(-\frac{1}{\sqrt{T}}\right) \times \left(+\frac{1}{\sqrt{T}}\right) dt \\
 &\quad + \int_{\frac{T}{2}-\tau}^T \left(-\frac{1}{\sqrt{T}}\right) \times \left(-\frac{1}{\sqrt{T}}\right) dt = + \int_{-\tau}^{\frac{T}{2}} \frac{1}{T} dt - \int_{\frac{T}{2}}^{\frac{T}{2}-\tau} \frac{1}{T} dt \\
 &\quad + \int_{\frac{T}{2}-\tau}^T \frac{1}{T} dt = \frac{\frac{T}{2} + \tau - \left(\frac{T}{2} - \tau - \frac{T}{2}\right) + T - \frac{T}{2} + \tau}{T} = \frac{T + 3\tau}{T} = 1 + \frac{3\tau}{T}
 \end{aligned}$$

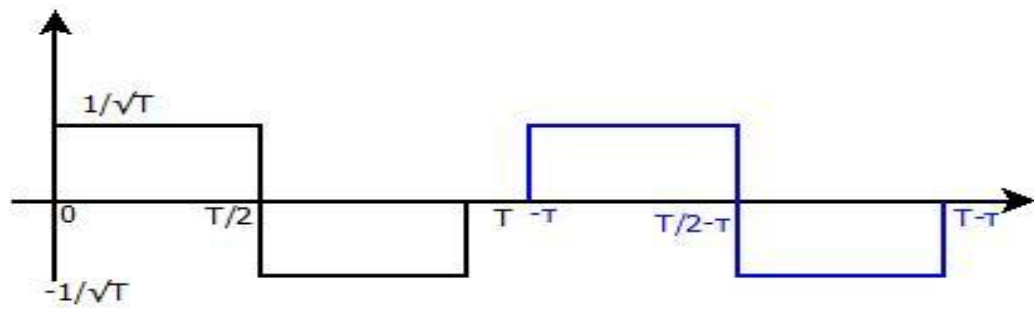
5^η περίπτωση



$$\frac{T}{2} < -\tau \leq T \Leftrightarrow -T \leq \tau \leq -\frac{T}{2}$$

$$\begin{aligned}
 R\varphi\varphi(\tau) &= \int_{-\infty}^{\infty} \varphi(\tau+t)\varphi(t)dt = \int_{-\tau}^T \frac{1}{\sqrt{T}} \times \left(-\frac{1}{\sqrt{T}}\right) dt = \\
 &= \int_{-\tau}^T -\frac{1}{T} dt = -\frac{T + \tau}{T} = -1 - \frac{\tau}{T}
 \end{aligned}$$

6^η περίπτωση



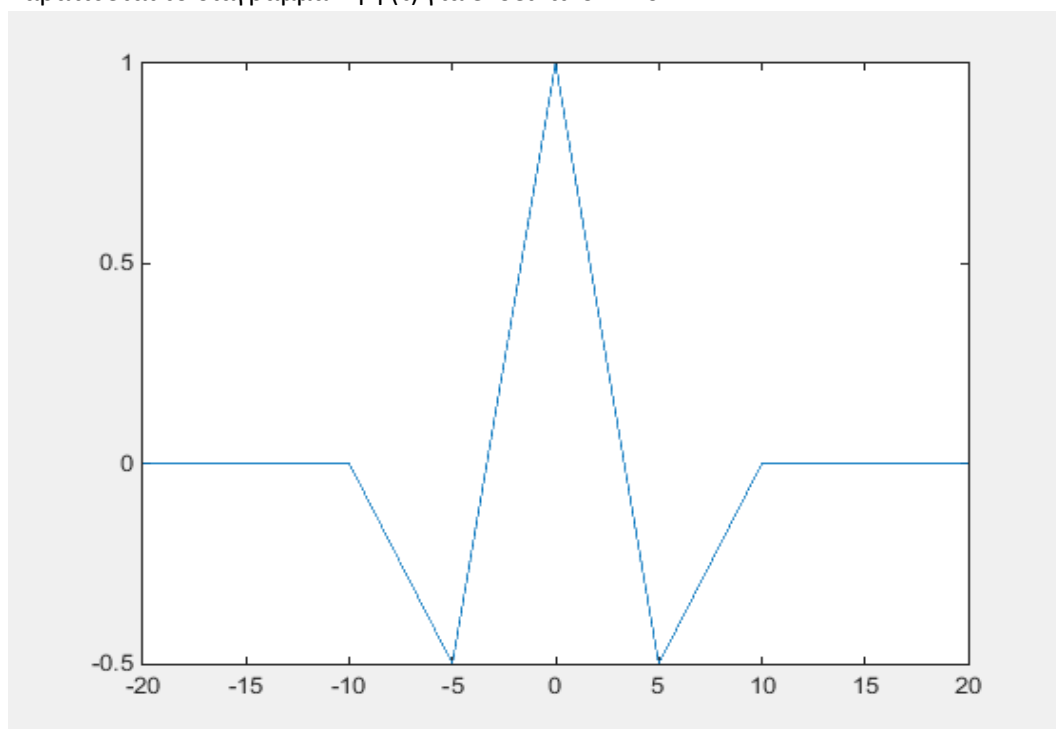
$$-\tau > T \Leftrightarrow \tau < -T$$

$$R\phi\phi(\tau) = \int_{-\infty}^{\infty} \phi(\tau + t)\phi(t)dt = 0$$

$$\text{Τελικά έχουμε } R\phi\phi(\tau) \begin{cases} -1 - \frac{\tau}{T}, \text{ για } -T \leq \tau \leq -\frac{T}{2} \\ 1 + \frac{3\tau}{T}, \text{ για } -\frac{T}{2} \leq \tau \leq 0 \\ 1 - \frac{3\tau}{T}, \text{ για } 0 \leq \tau \leq \frac{T}{2} \\ \frac{\tau}{T} - 1, \text{ για } \frac{T}{2} \leq \tau \leq T \\ 0, & \text{ αλλού} \end{cases}$$

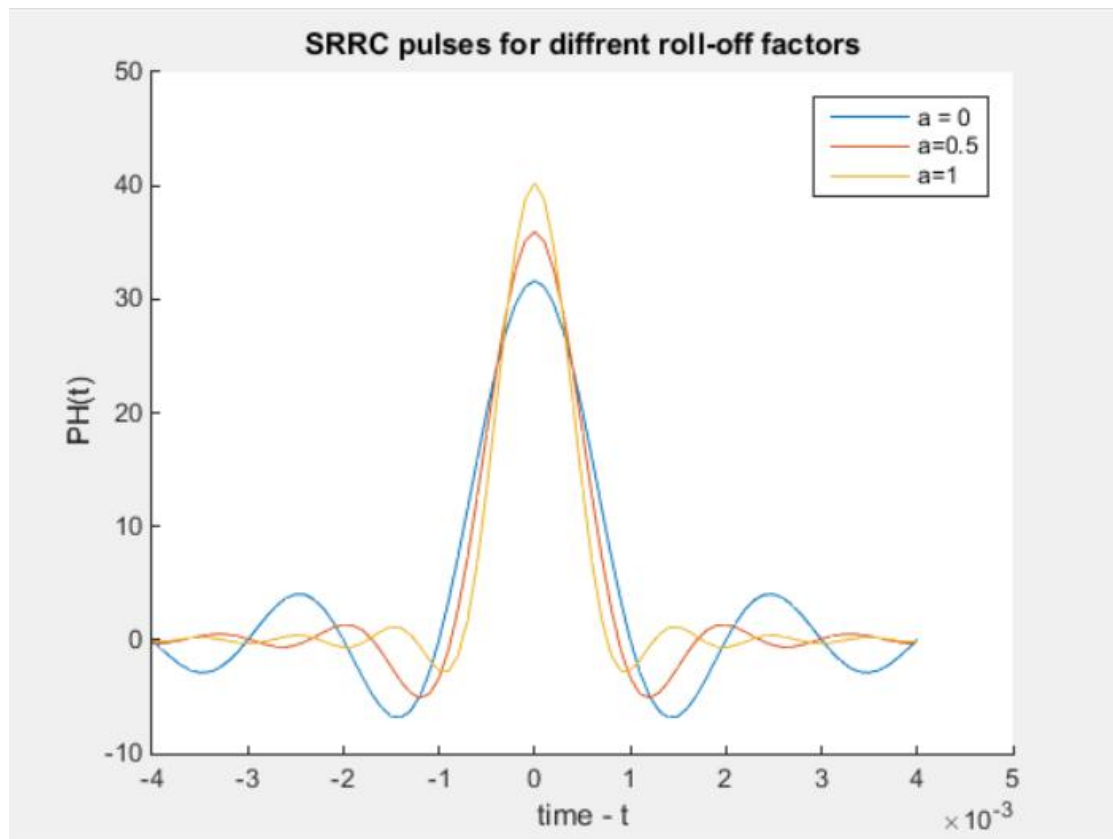
Χαρακτηριστικό είναι πως τώρα η συνάρτηση αυτομοιότητας παίρνει και αρνητικές τιμές.

Παρατίθεται το διάγραμμα $R\phi\phi(\tau)$ για ενδεικτικό $T=10$



Ερώτημα Α.1

Δημιουργήσαμε 4 3 παλμούς $\text{SRRC}\phi(t)$ με $T=10^{-3}$ και $A=4$ για συντελεστές roll-off 0,0.5 και 1. Παραθέτουμε το κοινό plot των παλμών.



```
rolloff = [0 0.5 1];  
%A1  
%SRRC pulse plot  
for i=[1 2 3] %Create and plot srrc pulse for each roll-off factor  
    [ph(i,:),t] = srrc_pulse(T,over,A,rolloff(i));  
    p(i) =plot(t,ph(i,:));  
end  
title( 'SRRC pulses for different roll-off factors' );  
xlabel( 'time - t' );  
ylabel( 'PH(t)' );  
legend([p(1), p(2), p(3)], 'a = 0', 'a=0.5', 'a=1');
```

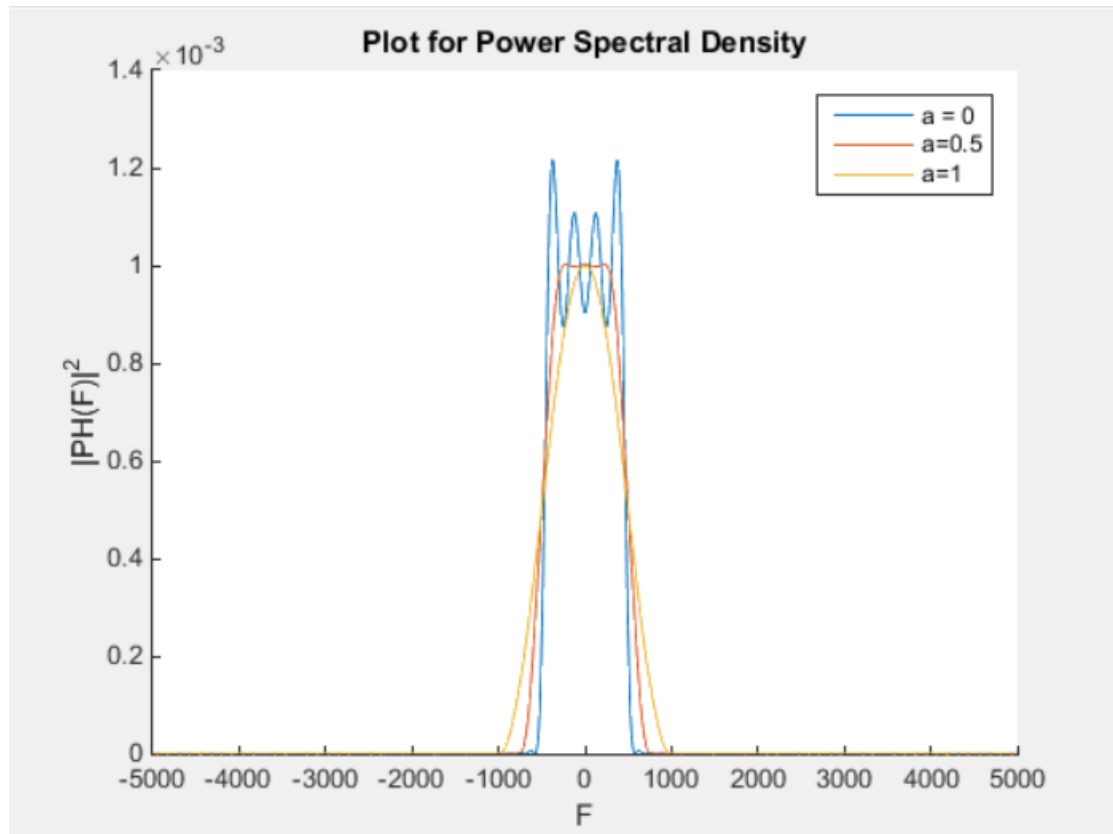
Αρχικά έχουμε ορίσει το διάνυσμα `rolloff` με τις επιθυμητές τιμές του a για να χρησιμοποιηθεί μέσα σε μια επαναληπτική δομή `for`. Μέσα στη `for` χρησιμοποιούμε την συνάρτηση που μας δόθηκε για να δημιουργήσουμε κάθε φορά έναν παλμό με τις επιθυμητές σταθερές. Έπειτα από έρευνα χρησιμοποιήσαμε την εντολή `legend` ώστε να σχεδιάσουμε στον ίδιο άξονα και τις τρεις γραφικές.

Παρατηρούμε ότι ο ρυθμός μείωσης του πλάτους γίνεται όλο και μεγαλύτερος καθώς αυξάνουμε το a .

Ερώτημα A.2

A)

Στο ερώτημα αυτό υπολογίσαμε τους μετασχηματισμούς Fourier $\Phi(F)$ των παραπάνω παλμών σε Νίσαπέχοντα σημεία στον άξονα συχνοτήτων $[-F_s/2, F_s/2)$.

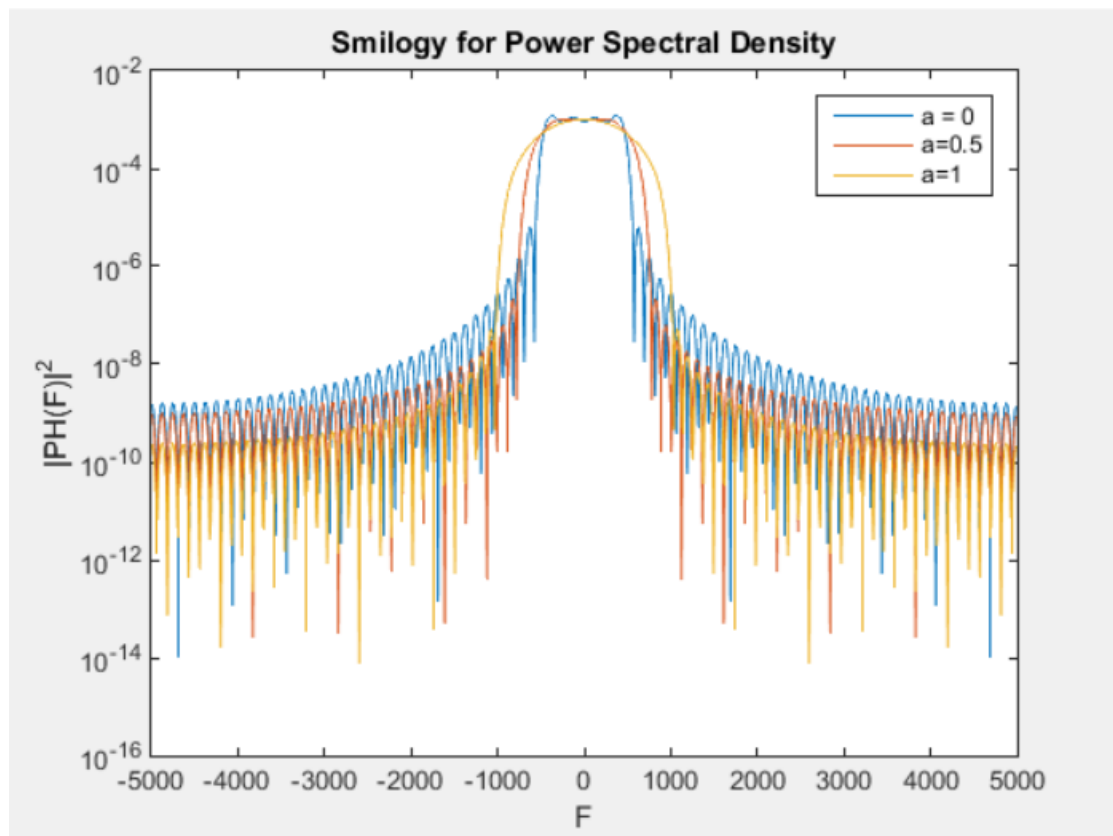


```
%A.2.a
%Fourier Trasnfrom
for i=[1 2 3] %Plot psd for each roll-off factor
    FT(i,:) = fftshift(fft(ph(i,:),Nf)*Ts);
    p(i) = plot(F,abs(FT(i,:)).^2);
end

title('Plot for Power Spectral Density');
xlabel('F');
ylabel('|PH(F)|^2');
legend([p(1), p(2), p(3)], 'a = 0', 'a=0.5', 'a=1');
```

Χρησιμοποιήσαμε ξανά το διάνυσμα rolloff για την for. Μέσα σε αυτή χρησιμοποιήσαμε τις συναρτήσεις που διδαχθήκαμε στο μάθημα για να υπολογίσουμε τον μετασχηματισμό Fourier, όπου T_s είναι η περίοδος δειγματοληψίας. Έπειτα αφού υπολογίσαμε την φασματική πυκνότητα ενέργειας κάθε παλμού, τις σχεδιάσαμε σε κοινό plot με την εντολή legend.

B)



```
%A.2.b
figure(3);

for i = [1 2 3] %Semilogy psd for each roll-off factor
    p(i) = semilogy(F,abs(FT(i,:)).^2);
    hold on;
end

title('Smilogy for Power Spectral Density');
xlabel('F');
ylabel('|PH(F)|^2');
legend([p(1), p(2), p(3)], 'a = 0', 'a=0.5', 'a=1');
```

Αφού μελετήσαμε και κατανοήσαμε την λειτουργία της semilogy, βασισμένοι στην υλοποίηση του προηγούμενου ερωτήματος σχεδιάσαμε σε κοινό άξονα την $|\Phi(F)|^2$ του κάθε παλμού.

Αρχικά παρατηρούμε την ομοιότητα των γραφικών παραστάσεων εκεί όπου η φασματικές πυκνότητες ενέργειας έχουν μεγάλες τιμές. Έπειτα συμπεραίνουμε την δυνατότητα που μας δίνει μόνο η semilogy να μελετήσουμε τις τιμές των $|\Phi(F)|^2$ εκεί που είναι πολύ μικρές.

Ερώτημα Α.3

	a=0	a=0.5	a=1
Bandwidth	500	750	1000

%A.3.

```
BW1 = (1+rolloff(1))/(2*T);
```

```
BW2 = (1+rolloff(2))/(2*T);
```

```
BW3 = (1+rolloff(3))/(2*T);
```

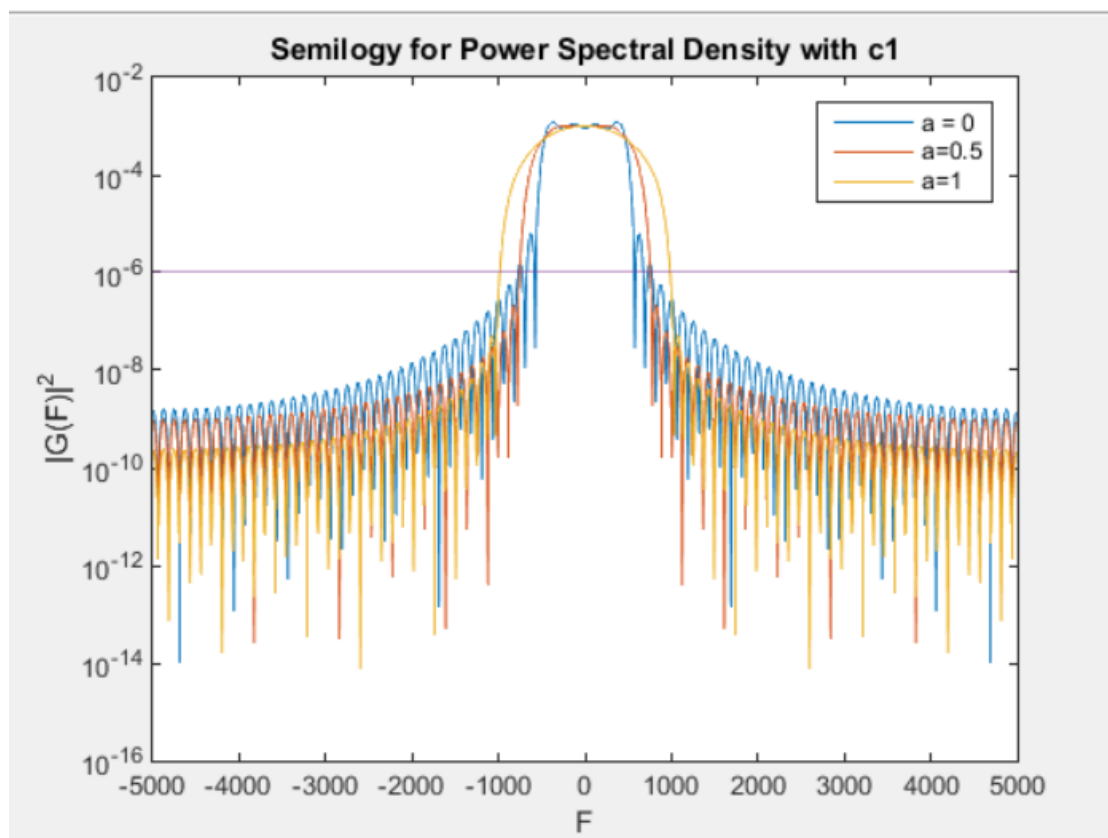
```
fprintf('The BW for rolloff factor a=0 is:  %d \n',BW1);
```

```
fprintf('The BW for rolloff factor a=0.5 is: %d \n',BW2);
```

```
fprintf('The BW for rolloff factor a=1 is:  %d \n',BW3);
```

Σύμφωνα με τον τύπο $BW = \frac{1+a}{2T}$ που μας δίνεται στην εκφώνηση συντάξαμε τον παραπάνω κώδικα ώστε να κάνουμε τον υπολογισμό στην MATLAB. Υπενθυμίζουμε ότι rolloff είναι απλώς η ονομασία του διανύσματος που περιέχει τις τιμές του α.

Παρατηρούμε πως όσο αυξάνεται το α το εύρος φάσματος των παλμών μεγαλώνει.



%Psd with semilogy and a c1

```
for i = [1 2 3] %Semilogy psd for each roll-off factor
```

```
    p(i) = semilogy(F,abs(FT(i,:)).^2);
```

```
    hold on;
```

```
end
```

```
semilogy(F,c1);
```

```

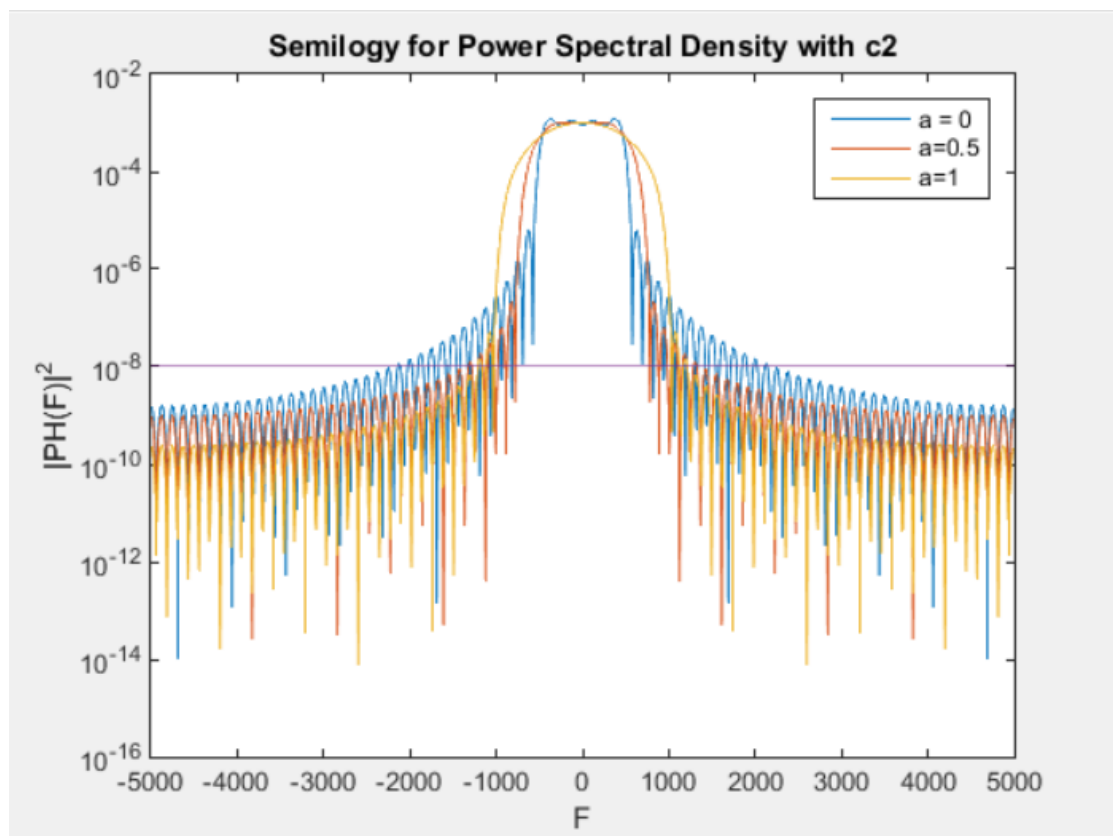
title('Semilogy for Power Spectral Density with c1');
xlabel('F');
ylabel('|G(F)|^2');
legend([p(1), p(2), p(3)], 'a = 0', 'a=0.5', 'a=1');

```

Ουσιαστικά χρησιμοποιήσαμε τον κώδικα για το ερώτημα Α.2 και απλώς προσθέσαμε στο ίδιο διάγραμμα στην σταθερά $c1=T/10^{-3}$. Θεωρούμε πως οι τιμές που βρίσκονται κάτω από αυτή τη γραμμή είναι μηδέν.

Έπειτα χρησιμοποιήσαμε το zoom και το εργαλείο datacursor και μπορούμε να πούμε προσεγγιστικά ότι το εύρος φάσματος για $\alpha=0$ είναι $BW=771$, $\alpha=0.5$ $BW=752$ και για $\alpha=1$ $BW=986$. Επομένως αποδοτικότερος είναι ο παλμός με $\alpha=0.5$ καθώς έχει το μικρότερο Bandwidth.

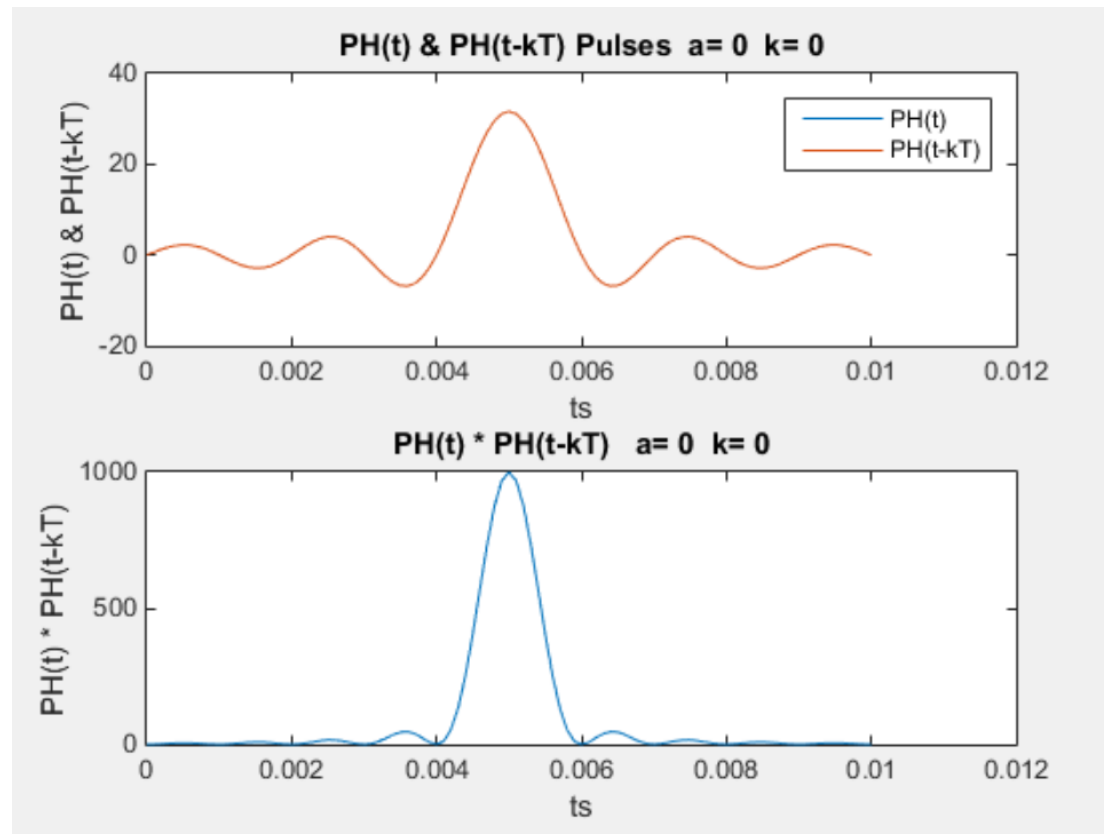
Επαναλαμβάνουμε τα παραπάνω με νέα σταθερά $C2=T/10^5$.

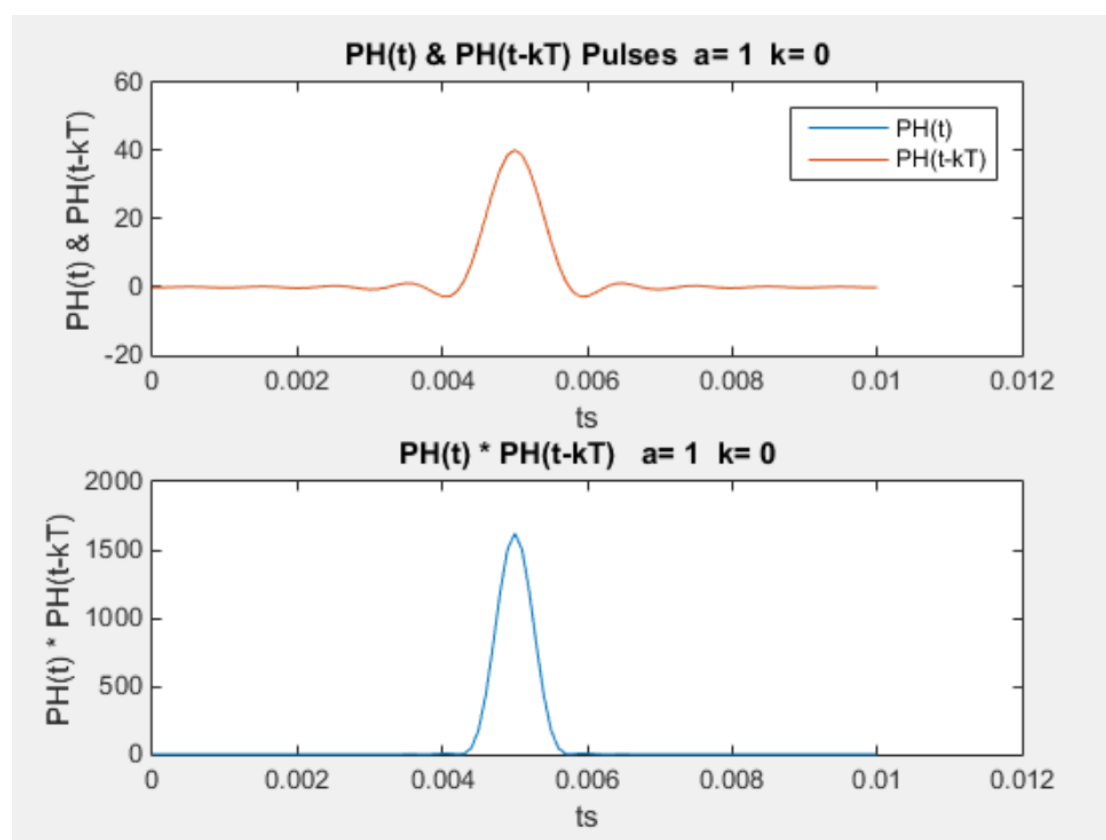
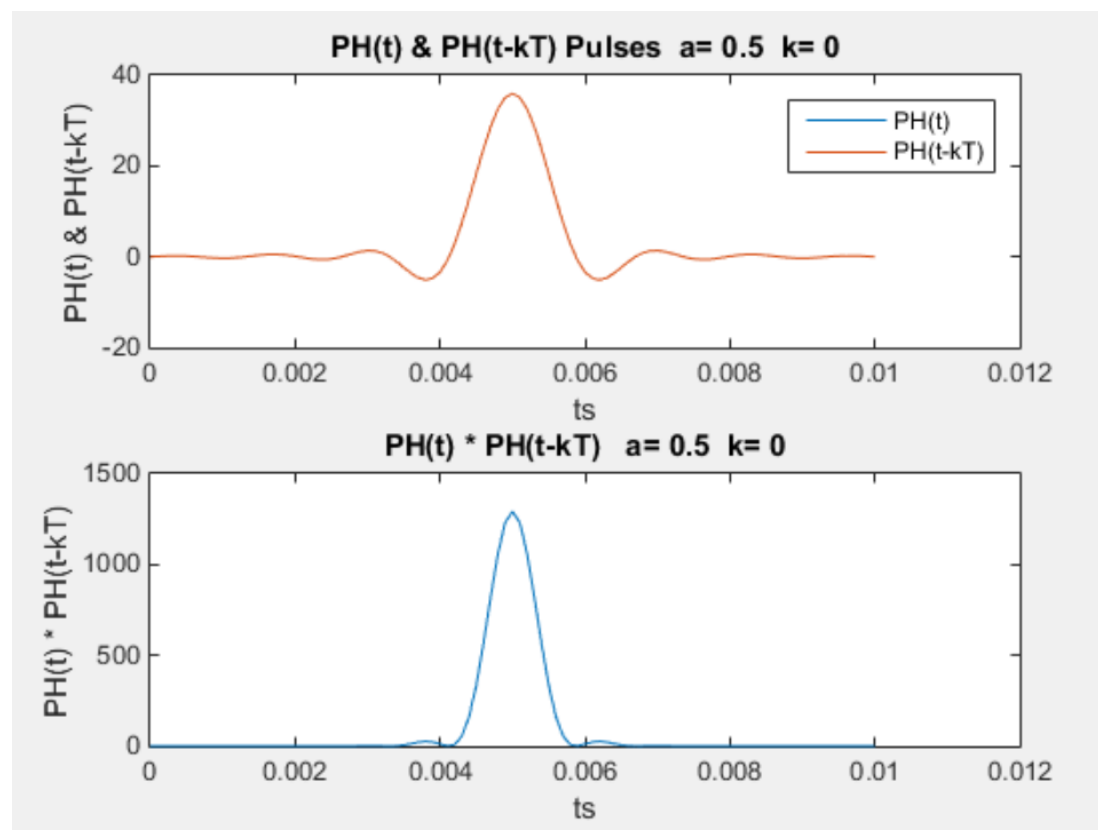


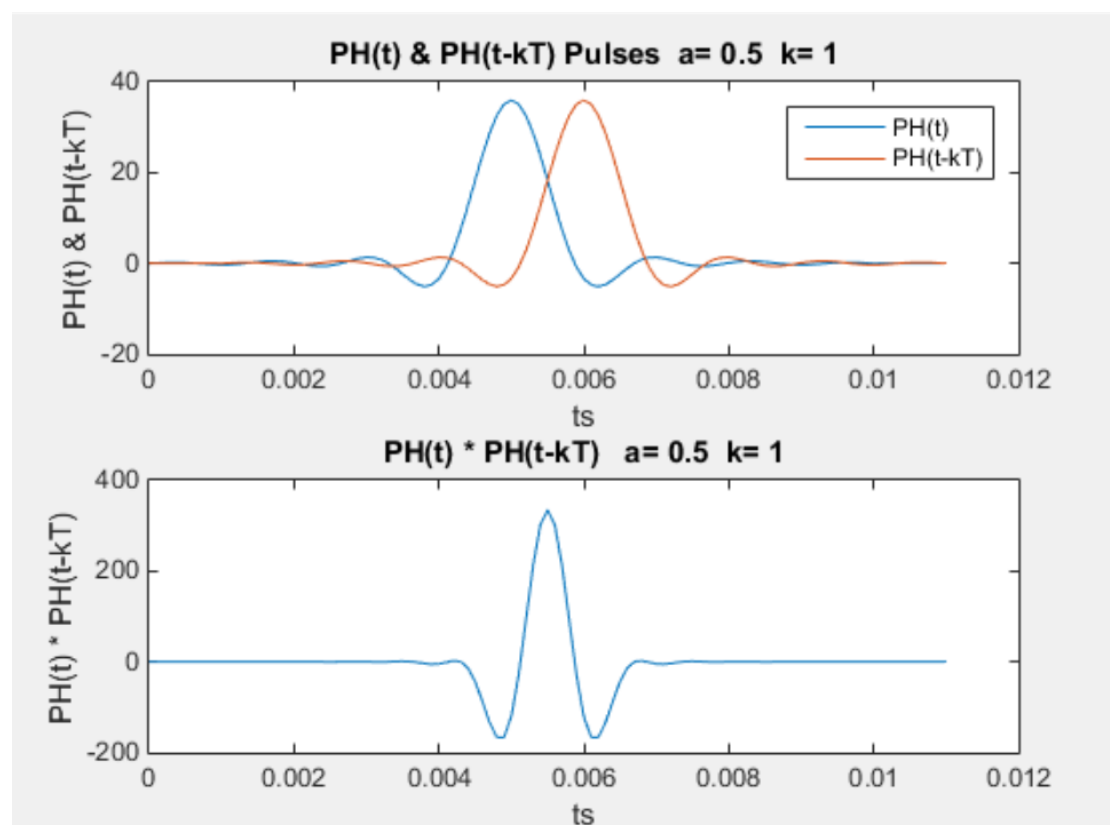
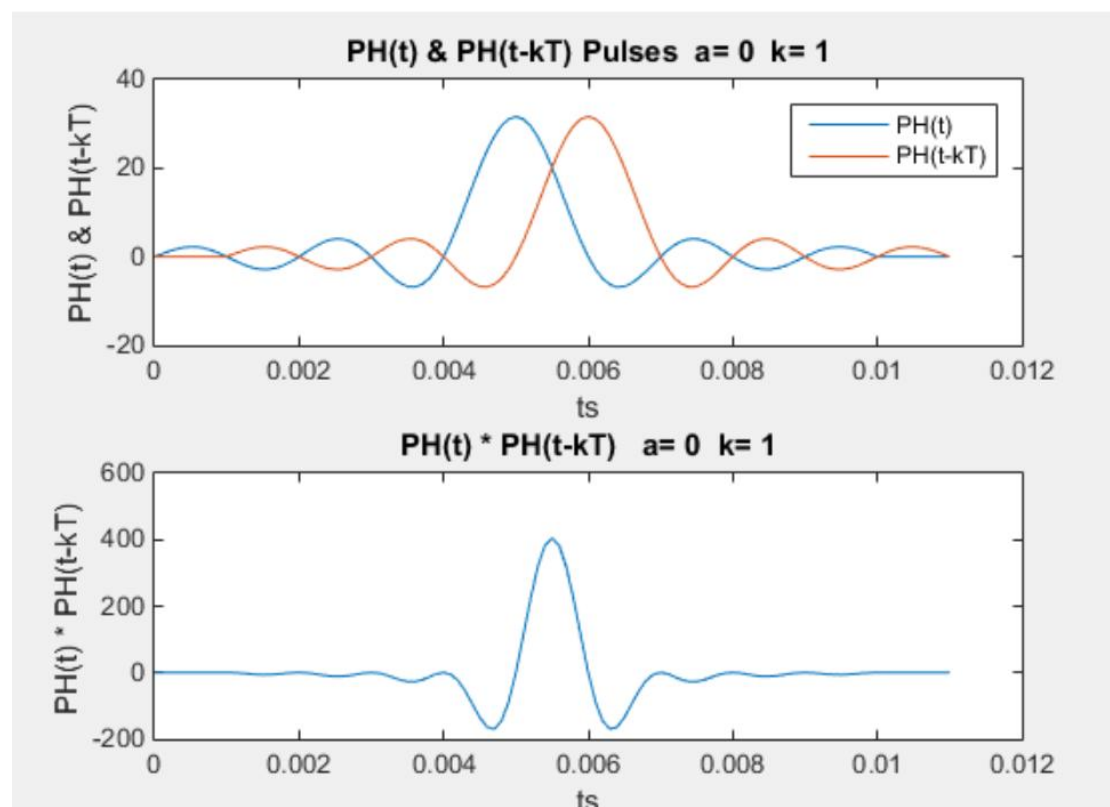
Παρατηρούμε ότι για $\alpha=0$ έχουμε $BW=2139$, $\alpha=0.5$ $BW=1318$ και για $\alpha=1$ $BW=1211$. Άρα αποδοτικότερος είναι ο παλμός με $\alpha=1$.

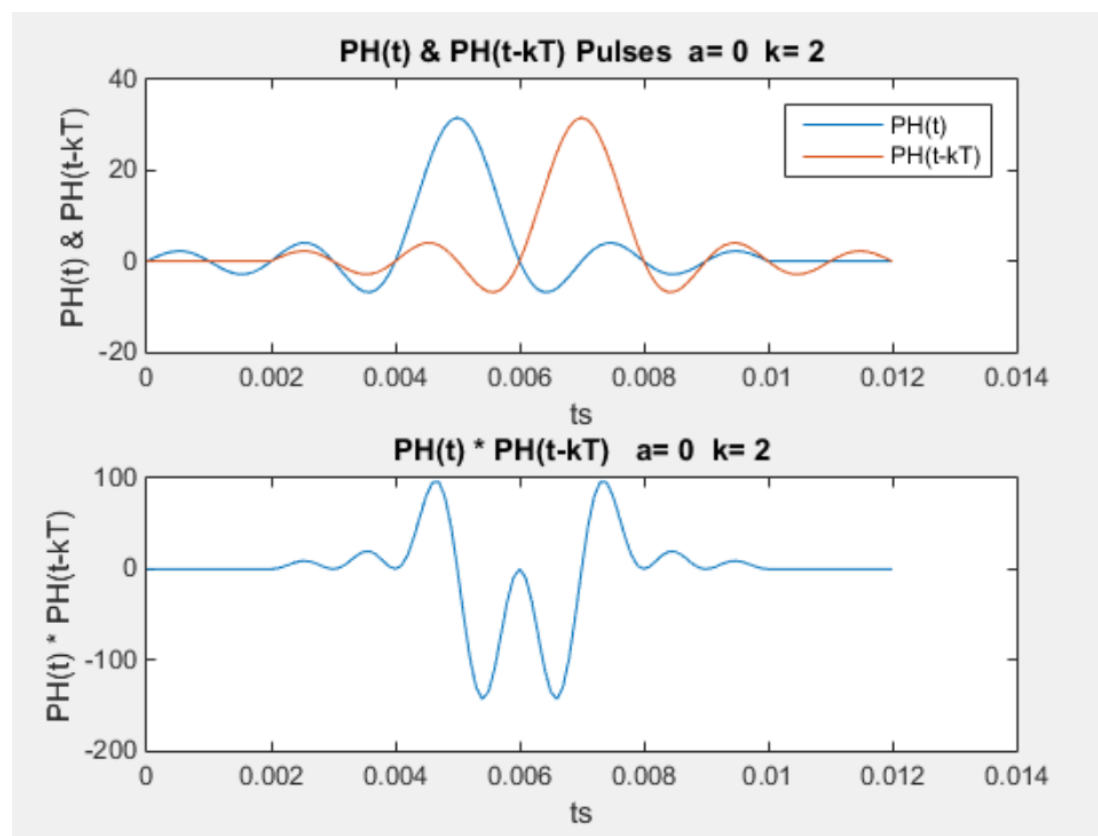
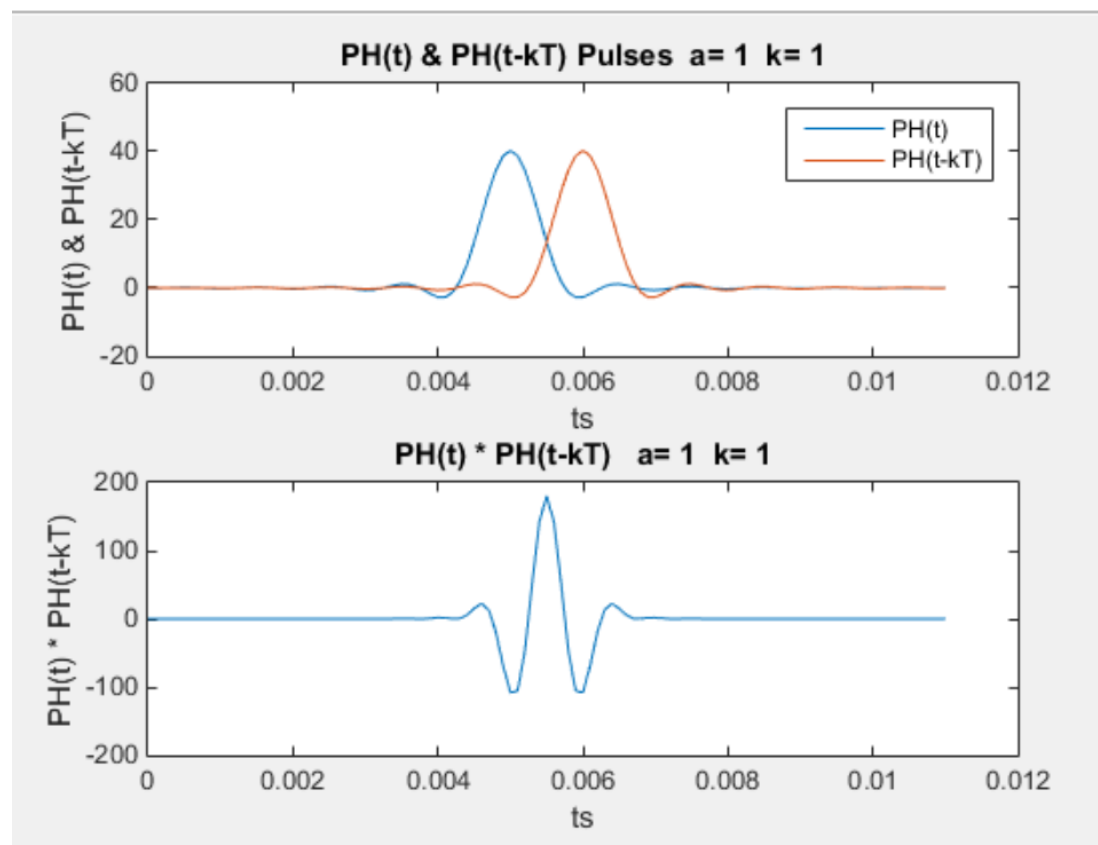
Ερώτημα Β.1

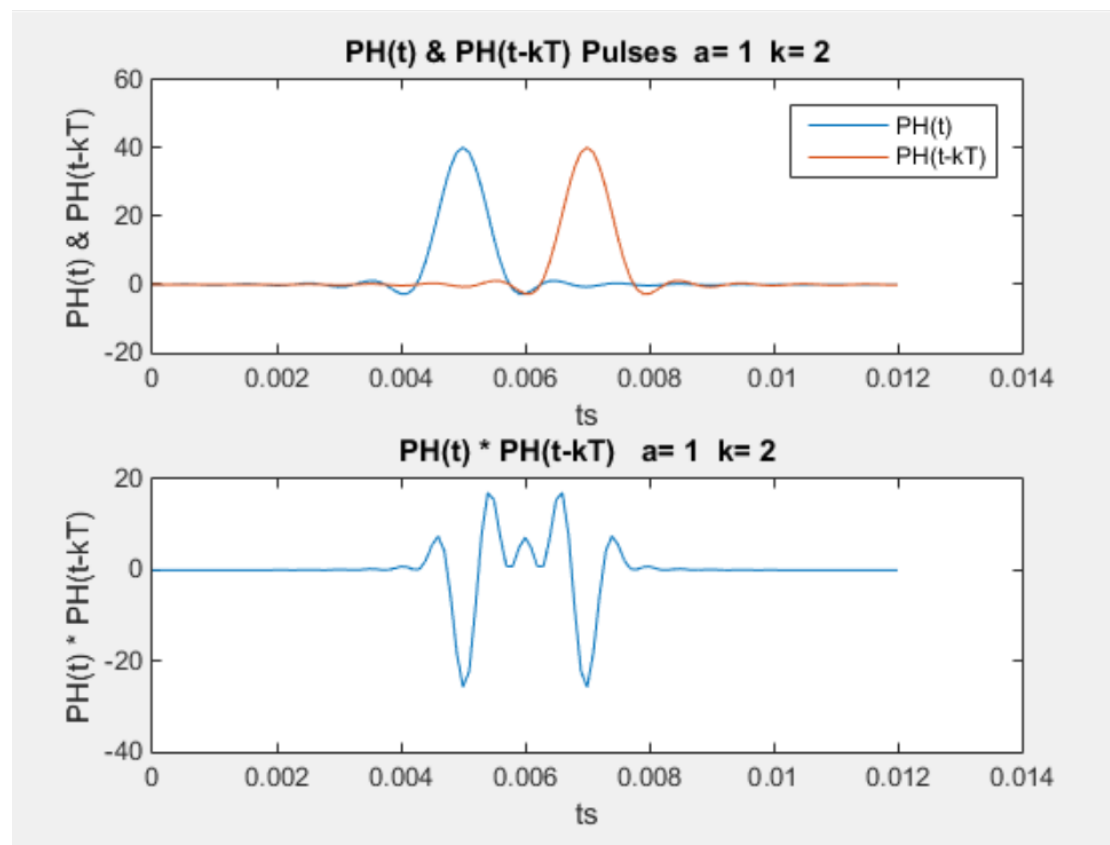
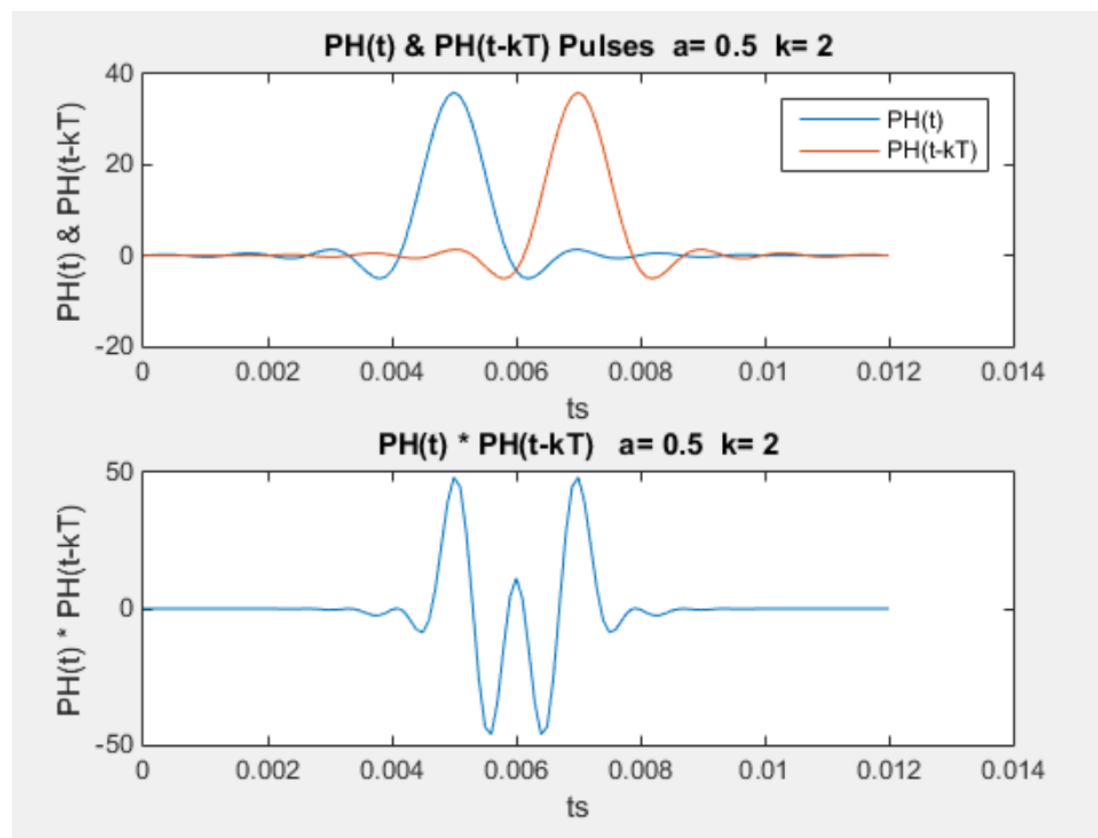
Στο ερώτημα αυτό δημιουργούμε ένα παλμό $\phi(t)$ και τον μετατοπίζουμε κατά ακέραια πολλαπλάσια του T δηλαδή $\phi(t-kT)$. Επιπλέον δημιουργούμε το γινόμενο $\phi(t)\phi(t-kT)$. Επαναλαμβάνουμε τα παραπάνω για κάθε συνδυασμό με $k=0,1,2,\dots,2A$ και συντελεστές roll-off $\alpha=0, 0.5$ και 1 .

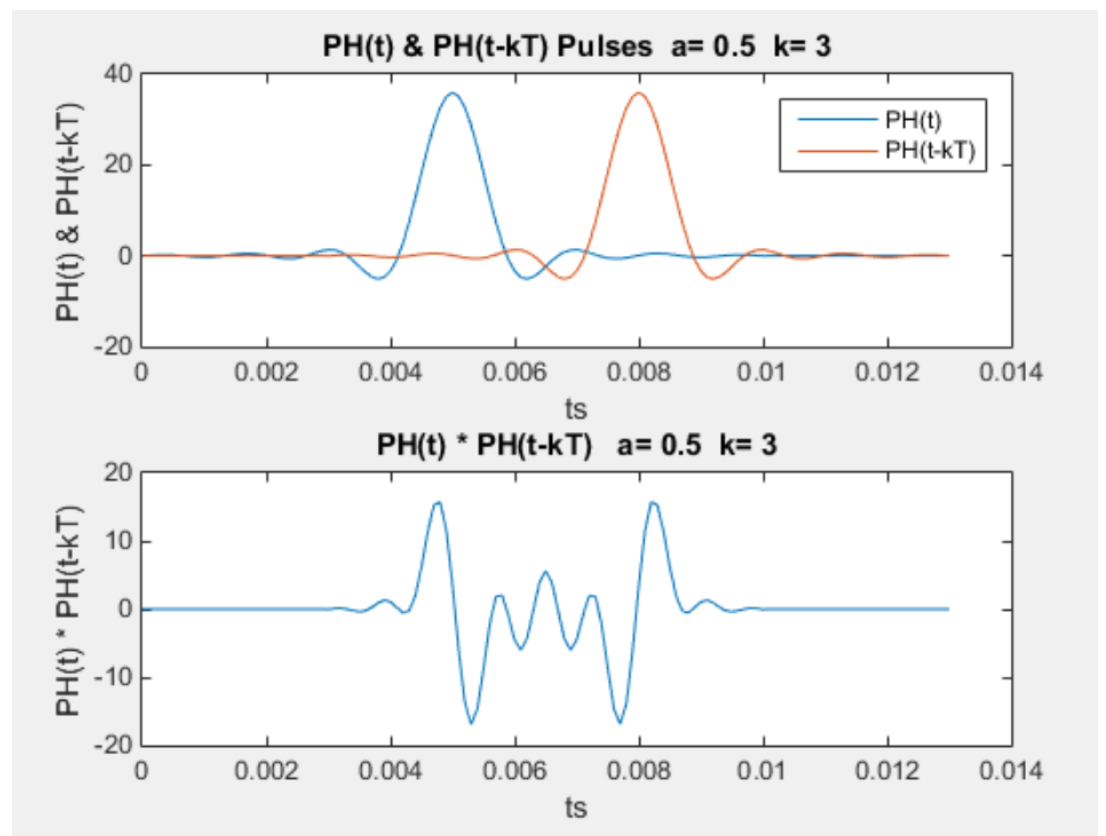
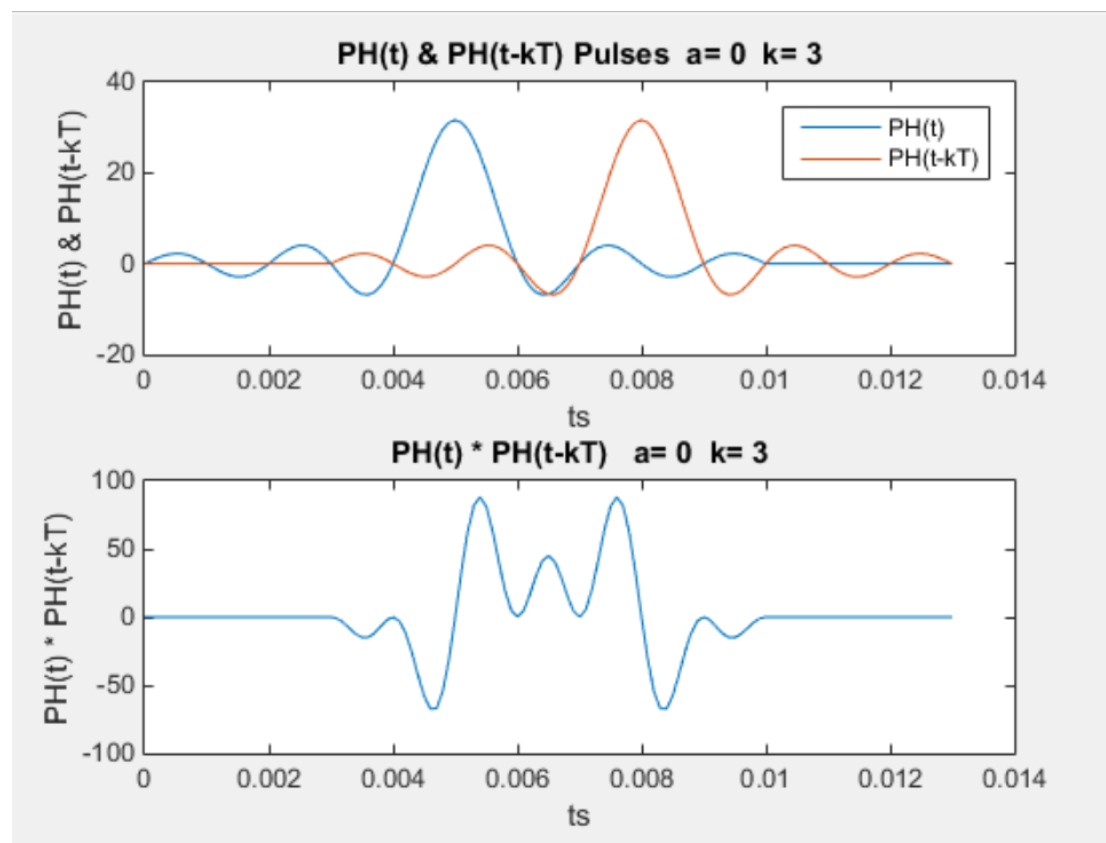


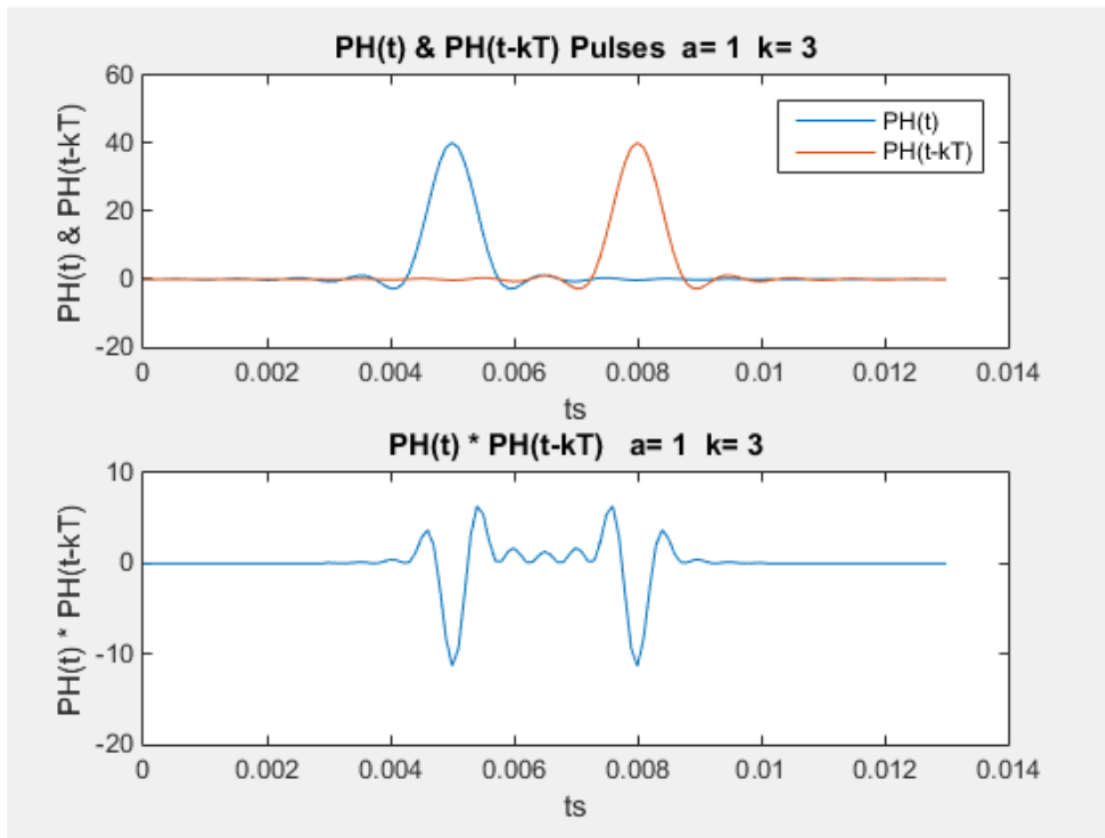












Integral of $\Phi(t) * \Phi(t-kT)$	a=0	a=0.5	a=1
k=0	0.979776	0.999928	0.999984
k=1	0.022552	-0.000007	-0.000022
k=2	-0.025789	0.000159	-0.000033
k=3	0.030774	0.000035	-0.000058

```

rolloff = [0 0.5 1];
for k=[0 1 2 3] %For each k

for i=[1 2 3] %For each a.

%b1
figure; %New figure for a set of k and a
subplot(2,1,1); %subplot for G(t) & G(t-kT)
[ph1,t] = srsrc_pulse(T,over,A,rolloff(i));
%Create the G(t-kT);
pha= [ph1, zeros(1,10*k)];
phb=[zeros(1,10*k),ph1];
%Create the new time after adding the zeros
ts=[0:Ts:length(t)*Ts+T*k-Ts];
%Plot G(t)
plot1 = plot(ts,pha);
hold on;

```

```

%Plot G(t-kT)
plot2 = plot(ts,phb);

title(['PH(t) & PH(t-kT) Pulses a= ',num2str(rolloff(i)), ' k= ',num2str(k)]);
ylabel('PH(t) & PH(t-kT) ');
xlabel('ts');
legend([plot1, plot2], 'PH(t)' , 'PH(t-kT)');

%b2
subplot(2,1,2); %subplot for G(t) * G(t-kT)
phR = pha.*phb;
plot(ts, phR);

title(['PH(t) * PH(t-kT) a= ',num2str(rolloff(i)), ' k= ',num2str(k)]);
ylabel('PH(t) * PH(t-kT) ');
xlabel('ts');

%b3
integral = sum(phR).*Ts; %Calculate integral
fprintf('\nIntegral of PH(t)*PH(t-kT) for a= %2f and k=%d is : %2f',rolloff(i),k,integral);

end
end

```

Ορίσαμε το διάνυσμα rolloff με τις επιθυμητές τιμές του α . Έπειτα χρησιμοποιήσαμε δύο επαναληπτικές δομές for με την μία εμφωλευμένη μέσα στην άλλη για να αποφύγουμε το γράψιμο του ίδιου κώδικα. Έπειτα χρησιμοποιήσαμε την συνάρτηση srcc_pulse που μας δόθηκε για να δημιουργούμε κάθε φορά τον αντίστοιχο παλμό. Στην συνέχεια προσθέσαμε μηδενικά μετά τον παλμό και στην συνέχεια προσθέσαμε μηδενικά πριν από τον ίδιο παλμό (ουσιαστικά ο μετατοπισμένος) ώστε να μπορέσουμε να τους σχεδιάσουμε σε κοινό άξονα.. Στην συνέχεια υπολογίσαμε το γινόμενο των παλμών και το σχεδιάσαμε. Τέλος προσεγγίσαμε αριθμητικά το ολοκλήρωμα του γινομένου του παλμού $\phi(t)$ και του μετατοπισμένου $\phi(t-kT)$ όπως αναφέραμε στο μάθημα.

Παρατηρούμε ότι όσο αυξάνεται το k οι τιμές του ολοκληρώματος

Ερώτημα Γ.1

```

%C.1
figure(1);
b = (sign (randn(N,1)) + 1)/2;

```

Δημιουργούμε N_{bits} για $i=0,\dots,N-1$ με $N=100$ χρησιμοποιώντας την εντολή $b=(\text{sign}(\text{randn}(N,1))+1)/2$ όπως μας ζητείται στην εκφώνηση.

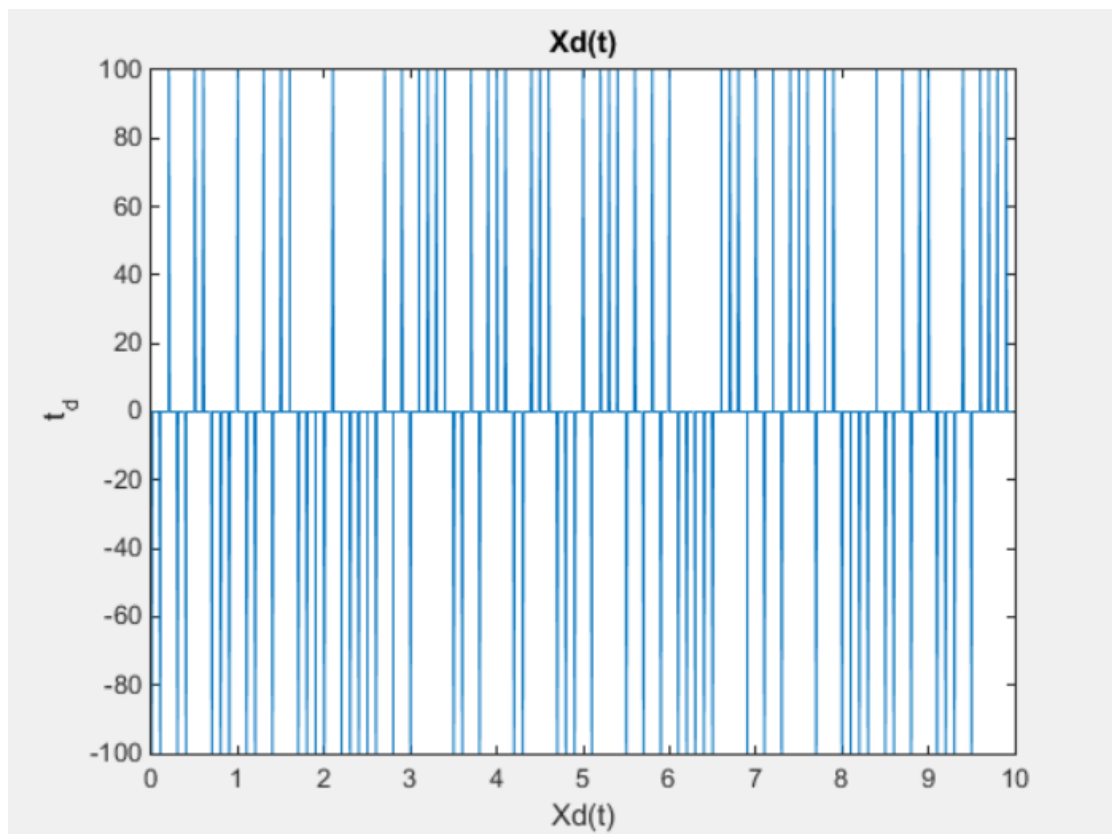
Ερώτημα Γ.2

A)

```
function [x]=bits_to_2PAM(b)
x=-2*b+1;
end
```

Ορίσαμε την συνάρτηση `bits_to_2PAM(b)` ώστε για όρισμα 0 να επιστρέφει +1 και όρισμα 1 να επιστρέφει -1.

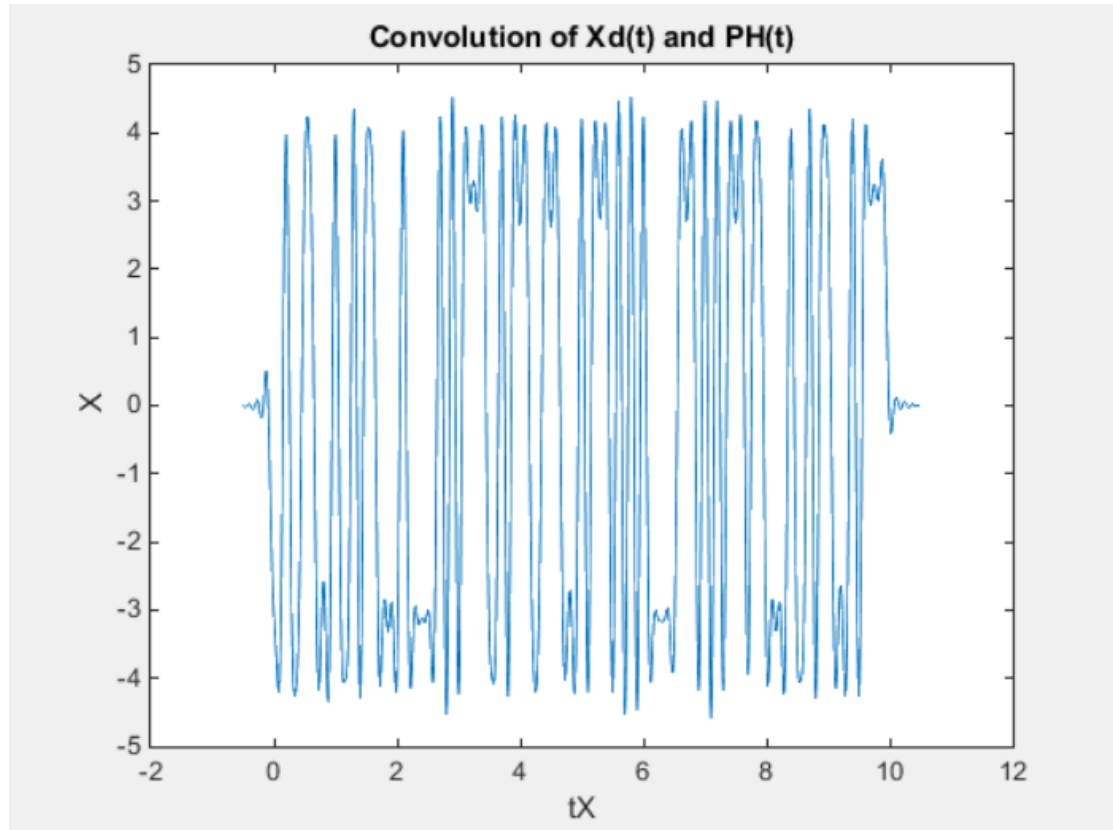
B)



```
%C.2.a
x = bits_to_2PAM(b);
%C.2.b
Xd = 1/Ts*upsample(x,over);
t_d = 0:Ts:N/over - Ts;
plot(t_d, Xd);
title('Xd(t)');
xlabel('Xd(t)');
ylabel('t_d');
```

Αφού δημιουργήσαμε την ακολουθία από 2-PAM σύμβολα x , χρησιμοποιήσαμε την συνάρτηση της εκφώνησης `upsample(X,over)` ορίσαμε και το σήμα X_d . Στην συνέχεια ορίσαμε τον άξονα του χρόνου και σχεδιάσαμε το σήμα.

Γ)



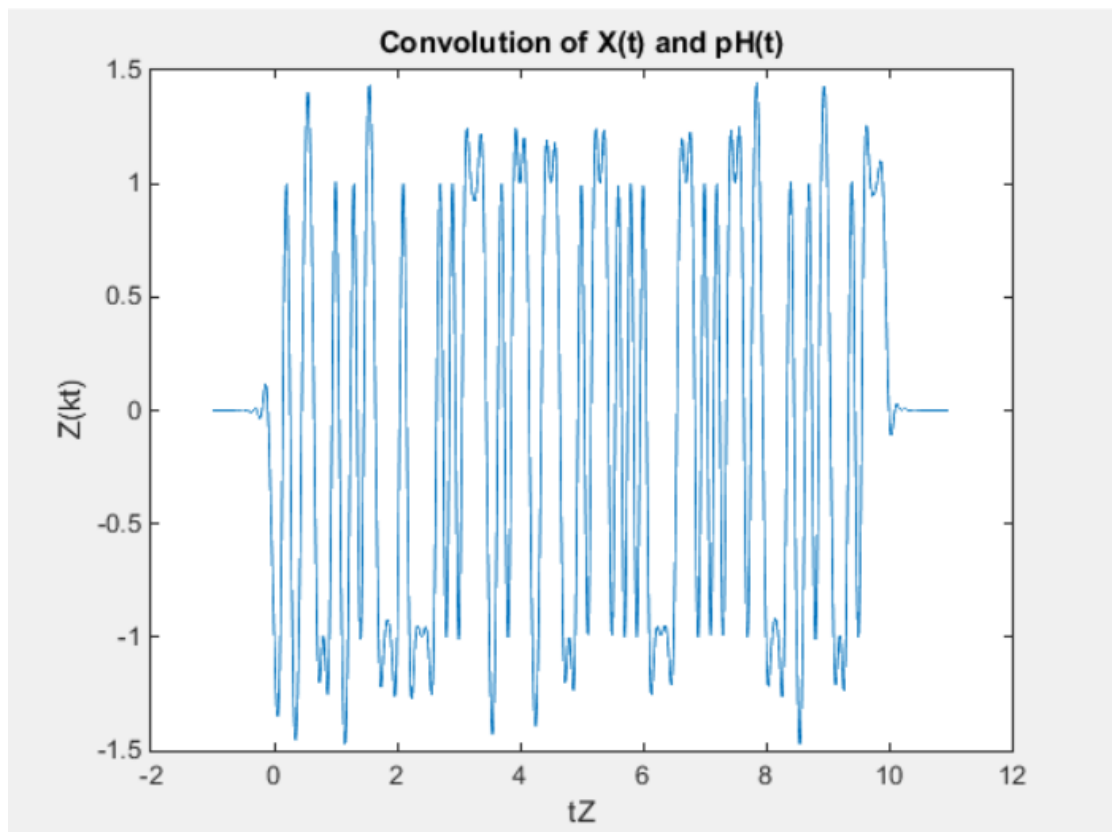
```
%C.2.c
figure(2);
[ph,t]=srrc_pulse(T,over,A,a);

tX= (t_d(1)+t(1):Ts:t_d(end)+t(end));
X = conv(Xd, ph).*Ts;
plot(tX,X);

title('Convolution of Xd(t) and PH(t)');
xlabel('tX');
ylabel('X');
```

Αρχικά κατασκευάσαμε τον παλμό $\phi(t)$ και στην συνέχεια κατασκευάσαμε κατάλληλα τον άξονα του χρόνου. Τότε με την `conv` προσομοιώσαμε την συνέλιξη των σημάτων και την σχεδιάσαμε.

Δ)



%C.2.d

```
tZ = ( tX(1) + t(1):Ts:tX(end)+t(end));
```

```
Z = conv(X,ph).*Ts;
```

```
figure(3);
```

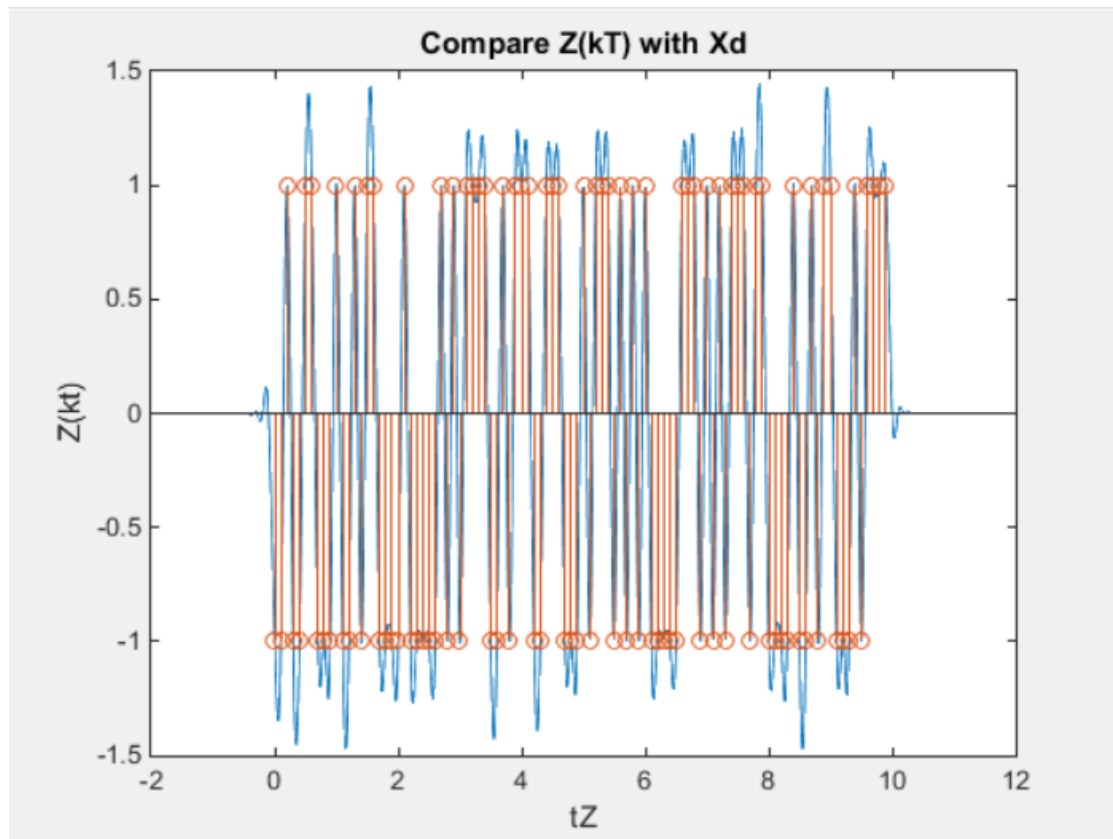
```
plot(tZ,Z);
```

```
title('Convolution of X(t) and pH(t)');
```

```
xlabel('tZ');
```

```
ylabel('Z(kT)');
```

Τέλος υποθέτοντας ιδανικό κανάλι, στην είσοδο του δέκτη λαμβάνουμε $X(t)$ και προσομοιώνουμε τη συνέλιξη $Z(t)=X(t)*\phi(-t)$. Ο παλμός SRRC είναι άρτιος άρα και ο αποκομμένος παλμός $\phi(t)$ είναι. Επομένως η συνέλιξη $Z(t)=X(t)*\phi(-t)$ ισούται με τη συνέλιξη $Z(t)=X(t)*\phi(t)$.



```
figure(4);
plot(tZ,Z);
hold on;
stem([0:N-1]*T,x);
title('Compare Z(kT) with Xd');
xlabel('tZ');
ylabel('Z(kT)');
```

Για να συσχετίσουμε τις τιμές $Z(kT)$ με αυτές των X_k σχεδιάσαμε ένα κοινό σχεδιάγραμμα με τη χρήση της εντολής `stem([0:N-1]*T,X)`. Παρατηρούμε πως για τις θετικές τιμές της συνέλιξης $Z(t)$ η X_k παίρνει τις τιμές +1 ενώ για τις αρνητικές την τιμή -1.

Να επισημάνουμε ότι ο συνολικός χρόνος που ασχοληθήκαμε με το project υπολογίζεται στις 18 περίπου ώρες.